

терным точкам сферы и цилиндра $\theta = 0, \pi/2$ и π . Суммирование рядов (9) и (11) для уменьшения эффекта Гиббса проводили методом Фейера [4], при расчетах ограничивались одиннадцатью членами ряда по Фурье или Лежандру ($m \leq 10$) и тридцатью одним по Лагерру ($n \leq 30$). Полученные результаты, как следует из графиков, хорошо согласуются с известными [2]. Давление на объекте после прохождения фронта волны устанавливается равным единице, причем оно быстрее падает на сфере в любой из характерных точек. Время приходов импульсов в точках $\theta = \pi/2$ и π также хорошо согласуется с результатами работы [2] и с выводами геометрической акустики [5]. Однако интересен полученный график поведения суммарного давления на сфере в тени ($\theta = \pi$) (см. рис. 1). В работе [2] эта кривая стремится к единице, не превосходя ее, точно так же, как и в случае дифракции на цилиндре. Известно [5], что на сфере в тени давление растет быстрее, чем в соответствующих точках цилиндра, а в точке $\theta = \pi$ результаты для сферы и цилиндра сильно отличаются. Объясняется это тем, что в случае дифракции на сфере луч $\theta = \pi$ является каустикой. Следовательно, кривая 3 на рис. 1 более оправдана как с физической, так и с математической точки зрения.

Отметим, что в случае падения на объект плоской акустической волны, давление в которой изменяется по произвольному отличному от (12) закону, решение может быть получено с помощью интеграла Дюамеля.

1. Боднарчук П. И., Скоробогатько В. Я. Гіллясті ланцюгові дробі та їх застосування.— К.: Наук. думка, 1974.— 271 с.
2. Григолюк Э. И., Горшков А. Г. Нестационарная гидроупругость оболочек.— Л.: Судостроение, 1974.— 208 с.
3. Кубенко В. Д., Панасюк Н. Н. Нестационарная дифракция акустических сферических и цилиндрических волн на жесткой сфере и цилиндре.— Прикл. механика, 1977, 13, № 9, с. 14—20.
4. Ланцош К. Практические методы прикладного анализа: Справочное руководство.— М.: Физматгиз, 1964.— 524 с.
5. Фридлиндер Ф. Звуковые импульсы.— М.: Изд-во иностр. лит., 1962.— 232 с.
6. Эхо-сигналы от упругих объектов / У. К. Нигул, Я. А. Метсавээр, Н. Д. Векслер, М. Э. Кутсер.— Таллин: Изд-во АН ЭССР, 1974.— Т. 2.— 346 с.

Львовский университет

Поступила в редколлегию
22.06.79

УДК 539.3 : 534.1

О. Ю. Жарий, А. Ф. Улитко

ЭЛЕКТРИЧЕСКИЙ РАЗРЯД ПЬЕЗОКЕРАМИЧЕСКОГО СТЕРЖНЯ ПРИ СТАЦИОНАРНОМ МЕХАНИЧЕСКОМ ВОЗБУЖДЕНИИ

В современной технике находят широкое применение импульсные (искровые) генераторы энергии, использующие явление электрического разряда деформируемых пьезоэлектрических тел [9]. Напряженность активных элементов такого типа генераторов и эффективность электромеханического преобразования существенно зависят от характера и интенсивности волновых полей, сопровождающих явление электрического разряда. В работах [1—3] изучено поведение пьезокерамического слоя при мгновенном электрическом нагружении и разряде, а также при многократных разрядах, однако общая теория в имеющейся литературе отсутствует. Задачи разряда периодически возбуждаемых механическим или электрическим путем элементов почти не рассматривались.

Цель данной работы — изучение общих закономерностей кратковременного (в течение нескольких наносекунд) электрического разряда пьезоэлектрических тел при произвольных условиях электрического и

механического нагружения. Существенную роль в построении теории играет то обстоятельство, что в пьезоэлектриках связаны квазистатическое и динамическое явления [11].

Показано, что электрическая энергия, высвобождаемая при разряде, а также все характеристики сопряженного поля полностью определяются изменением потенциалов на разрядных электродах в момент разряда. На основании общей теории рассмотрен электрический разряд поляризованного по оси пьезокерамического стержня, возбуждаемого периодическими внешними усилиями, приложенными на торцах.

Уравнения, описывающие движение пьезоэлектрической среды [7, 11], запишем в произвольной криволинейной системе координат x_i (в этом параграфе латинские индексы пробегают значения 1, 2, 3), используя тензорную символику и соглашение о суммировании по повторяющимся латинским индексам:

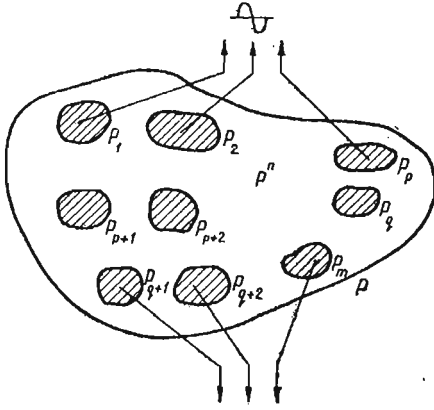


Рис. 1

линейные пьезоэлектрические уравнения состояния

$$\sigma_{ij} = c_{ijkl}^E \epsilon_{kl} - e_{kij} E_k, \quad D_i = e_{ikl} \epsilon_{kl} + \epsilon_{ik}^S E_k, \quad (1)$$

уравнения движения в напряжениях

$$\sigma_{ii,i} = \rho \frac{\partial^2 u_i}{\partial t^2}, \quad (2)$$

уравнения вынужденной электростатики диэлектриков

$$D_{i,i} = 0, \quad E_k = -\psi_{,k}, \quad (3)$$

соотношения Коши

$$\epsilon_{kl} = \frac{1}{2} (u_{k,l} + u_{l,k}). \quad (4)$$

Индекс после запятой обозначает ковариантное дифференцирование по соответствующей пространственной координате.

В уравнениях (1) — (4) σ_{ij} , ϵ_{ij} — тензоры механических напряжений и деформаций; u_j , E_i , D_i векторы механического перемещения, напряженности и индукции электрического поля; ρ — плотность материала; ψ — электрический потенциал; c_{ijkl}^E — тензор модулей упругости при нулевом электрическом поле; e_{ikl} — тензор пьезомодулей; ϵ_{ik}^S — тензор диэлектрических проницаемостей при нулевых деформациях.

Рассмотрим пьезоэлектрическое тело, ограниченное поверхностью P (рис. 1). Обозначим через P^e электродированную, а через P^n — неэлектродированную части P (для простоты изложения допустим, что внутренние электроды отсутствуют). Пусть P^e состоит из m электродов P_v ($v = 1, 2, \dots, m$). Первые p электродов подключены к генераторам напряжения достаточно большой мощности, поэтому будем считать, что на них независимо от любых процессов, происходящих в рассматриваемой системе, сохраняются заданные значения потенциала:

$$\psi = V_v(t) \quad \text{на } P_v, \quad v = 1, 2, \dots, p. \quad (5)$$

Остальные $m - p$ электродов включены как пассивные [7]; значения потенциала на них $V_v(t)$, $v = p + 1, p + 2, \dots, m$, определяются из условия сохранения заряда

$$\frac{d}{dt} \iint_{P_v} n_i D_i dP = 0, \quad v = p + 1, p + 2, \dots, m, \quad (6)$$

где n_i — орт внешней нормали. Решение системы уравнений (1) — (4) можно найти, дополнив условия (5), (6) таким:

$$n_i D_i = 0 \quad \text{на } P^n \quad (7)$$

■ известными граничными условиями для механических переменных [7].

Допустим, что в момент времени $t = t_1$ произошел электрический разряд через разрядные электроды $P_{q+1}, P_{q+2}, \dots, P_m$ ($p \leq q < m$), т. е. потенциал ψ на этих электродах изменился до известных значений. В практических важных случаях разряд происходит в течение нескольких наносекунд, что во много раз меньше времени заметного развития электромеханических волновых процессов в телах размера порядка нескольких сантиметров. Поэтому новое граничное условие для ψ при $t = t_1 + 0$ можно записать в виде

$$\psi'' = V_v, \quad v = 1, 2, \dots, m. \quad (8)$$

Здесь и далее величины, обозначенные одним штрихом, вычислены непосредственно перед разрядом ($t = t_1 - 0$), а двумя — сразу же после него ($t = t_1 + 0$).

В течение практически мгновенного разряда механические перемещения, скорости, а следовательно, и деформации внутри тела не успевают существенно измениться, поэтому полагаем

$$u_i = u_i, \quad \left(\frac{\partial u_j}{\partial t} \right)'' = \left(\frac{\partial u_j}{\partial t} \right)', \quad \varepsilon_{kl} = \varepsilon'_{kl}. \quad (9)$$

Из выражений (1), (3), (7), (9) получаем уравнение для определения ψ'' :

$$(\varepsilon_{ik}^S \psi_{,k})_{,i} = (\varepsilon_{ik}^S \dot{\psi}_{,k})_{,i} \quad (10)$$

и граничное условие для ψ'' на части P^n поверхности P :

$$n_i \varepsilon_{ik}^S \psi_{,k} = n_i \varepsilon_{ik}^S \dot{\psi}_{,k}. \quad (11)$$

Таким образом, ψ'' определяется из решения уравнения Пуассона для анизотропной среды (10) при смешанных граничных условиях (8) и (11). Основываясь на выводах работы [5], можно заключить, что полученный результат будет достаточно хорошо соответствовать истинным значениям поля. Зная ψ'' , вычисляем значения остальных переменных сопряженного поля непосредственно после разряда:

$$\begin{aligned} E_k &= -\psi_{,k}, \quad \sigma_{ij} = \sigma'_{ij} + e_{kij}(\psi'' - \psi')_{,k}, \\ D_i &= D_i - \varepsilon_{ik}^S (\psi'' - \psi')_{,k}. \end{aligned} \quad (12)$$

Из сказанного выше следует, что при мгновенном электрическом разряде механические напряжения, потенциал, напряженность и индукция электрического поля претерпевают разрыв, в то время как перемещения, скорости частиц и деформации остаются неизменными.

Обратимся к постановке граничных условий на P^c в любой момент времени. Заметим прежде всего, что в условии (8) известны только первые p и последние $m - q$ из V_v . Обозначая $f^* = f'' - f'$, где f — любая из величин ψ, E_k, D_i , можно записать

$$D_i^* = \varepsilon_{ik}^S E_k^*, \quad D_{i,l}^* = 0, \quad E_k^* = -\psi_{,k}^*. \quad (13)$$

Уравнения (13) представляют собой не что иное, как уравнения электростатики для анизотропной среды в отсутствие объемных зарядов. Таким образом, разность электрических полей после разряда и до него представляет собой электростатическое поле, поэтому можно записать

$$-\iint_{P_\mu} n_i (D_i - D_i) dP = \sum_{v=1}^m c_{v\mu} (V_v - V_v), \quad \mu = 1, 2, \dots, m. \quad (14)$$

В левой части (14) стоят изменения электрических зарядов на электродах P_μ в момент разряда; $\|c_{\nu\mu}\|_{m \times m}$ — симметричная матрица емкостей данной m -электродной системы [6]. Она определяется из решения задачи об электростатическом нагружении данной системы при постоянной деформации и предполагается известной. Из единственности решения такой задачи следует неравенство нулю определителя матрицы и всех ее главных миноров. Поскольку наносекундный электрический разряд происходит, как уже отмечалось, при постоянных деформациях, применение матрицы статических емкостей при построении теории такого разряда обосновано.

На электродах $P_{p+1}, P_{p+2}, \dots, P_q$ во время разряда электрический заряд сохраняется, поэтому v''_ν ($\nu = p+1, p+2, \dots, q$) определяются из системы уравнений

$$\sum_{\nu=p+1}^q c_{\nu\mu} V'_\nu = \sum_{\nu=p+1}^q c_{\nu\mu} V'_\nu - \sum_{\nu=p+1}^m c_{\nu\mu} (V'_\nu - V''_\nu), \quad (15)$$

$$\mu = p+1, p+2, \dots, q,$$

которая в силу сделанного замечания имеет единственное решение.

Предполагая электроды P_ν , $\nu = p+1, p+2, \dots, m$, после разряда разомкнутыми, заключаем, что граничные условия для ψ на P^e в любой момент времени необходимо задавать в виде

$$\psi = V_\nu(t) \text{ на } P_\nu, \quad \nu = 1, 2, \dots, m, \quad (16)$$

при этом $V_\nu(t)$ на электродах, не питаемых генераторами напряжения, определяются из условий

$$\frac{d}{dt} \iint_{P_\mu} n_i D_i dP = - \sum_{\nu=p+1}^m c_{\nu\mu} (V'_\nu - V''_\nu) \delta(t - t_1), \quad (17)$$

$$\mu = p+1, p+2, \dots, m,$$

где δ — дельта-функция Дирака.

Чтобы определить энергию разряда, используем общую формулу для потока электрической энергии через поверхность пьезоэлектрического тела:

$$\frac{dW}{dt} = - \iint_P n_i \frac{\partial D_i}{\partial t} \psi dP. \quad (18)$$

Интегрируя это выражение по t от $t_1 - \xi$ до $t_1 + \xi$ ($\xi > 0$) и переходя затем к пределу при $\xi \rightarrow 0$, для энергии разряда получаем окончательное выражение

$$\Delta W = W' - W'' = \sum_{\mu=1}^p V'_\mu \sum_{\nu=p+1}^m c_{\nu\mu} (V'_\nu - V''_\nu) +$$

$$+ \frac{1}{2} \sum_{\mu=p+1}^m (V'_\mu + V''_\mu) \sum_{\nu=p+1}^m c_{\nu\mu} (V'_\nu - V''_\nu) = W_1 + W_2, \quad (19)$$

где W_1 — энергия, мгновенно перераспределенная между пьезоэлектрическим телом и генераторами, а W_2 — энергия, выделившаяся с разрядных электродов. Из формулы (19) видно, что величины W_1 и W_2 не зависят от значений переменных сопряженного поля, а определяются лишь значениями потенциалов на электродах до и после разряда.

Ниже на основании общей теории рассмотрен разряд поляризованного по оси пьезокерамического стержня, возбуждаемого периодическими нагрузками на торцах.

Цилиндрический стержень длины $2h$ (рис. 2) находится под действием усилий, изменяющихся с круговой частотой ω_0 . Уравнения пьезоэффекта для случая осевого деформирования цилиндра в рамках теории тонких стержней имеют вид [4, 8]

$$\varepsilon = s_{33}^E \sigma + d_{33} E, \quad D = d_{33} \sigma + \varepsilon_{33}^T E, \quad (20)$$

где обозначения совпадают с принятыми в работах [4, 8], а у физических переменных индекс z опущен. Уравнения движения будут такими:

$$\frac{\partial \sigma}{\partial z} = \rho \frac{\partial^2 u}{\partial t^2}, \quad \frac{\partial D}{\partial z} = 0. \quad (21)$$

Система (20), (21) замыкается соотношениями

$$\varepsilon = \frac{\partial u}{\partial z}, \quad E = -\frac{\partial \psi}{\partial z}. \quad (22)$$

Граничные условия в случае возбуждения нормальными усилиями амплитуды p_0 и при условии отсутствия свободных зарядов на электродах, покрывающих торцы, записываются в виде

$$\sigma|_{z=\pm h} = -p_0 \sin \omega_0(t + t_0), \quad D|_{z=\pm h} = 0, \quad (23)$$

где t_0 — пока произвольная временная постоянная. Сопряженное электромагнитное поле в стержне при граничных условиях (23) имеет вид

$$\begin{aligned} u &= -p_0 \frac{E}{\varepsilon_{33}} (1 - k_{33}^2) \frac{\sin k_0 z}{k_0 \cos k_0 h} \sin \omega_0(t + t_0), \\ \psi &= -p_0 \frac{d_{33}}{\varepsilon_{33}^T} \frac{\sin k_0 z}{k_0 \cos k_0 h} \sin \omega_0(t + t_0), \\ \sigma &= -p_0 \frac{\cos k_0 z}{\cos k_0 h} \sin \omega_0(t + t_0), \quad D = 0. \end{aligned} \quad (24)$$

Здесь $k_{33}^2 = \frac{d_{33}^2}{\varepsilon_{33}^T \varepsilon_{33}^E}$ — продольный коэффициент электромеханической связи

[4]; $k_0 = \frac{\omega_0}{c}$; $c = [\rho \varepsilon_{33}^E (1 - k_{33}^2)]^{-\frac{1}{2}}$ — скорость продольных волн в стержне.

В момент времени $t = 0$ происходит электрический разряд через торцевые электроды $z = \pm h$. При этом потенциал ψ мгновенно изменяется от $\pm V'$ до нуля (для определенности будем считать $V' > 0$); при $t > 0$ электроды разомкнуты. Согласно общей теории необходимо вначале вычислить матрицу статических емкостей данной двухэлектродной системы. Для пьезокерамического стержня с площадью поперечного сечения S в предположении однородности поля по сечению она имеет вид

$$\|c_{uv}\| = \frac{\varepsilon_{33}^T (1 - k_{33}^2) S}{2h} \begin{vmatrix} 1 & -1 \\ -1 & 1 \end{vmatrix}. \quad (25)$$

Из уравнений (17), учитывая, что $V_1 = -V_2 = V'$, $V_1 = V_2 = 0$, находим

$$D|_{z=\pm h} = \frac{\varepsilon_{33}^T (1 - k_{33}^2)}{h} V' H(t), \quad (26)$$

где $H(t)$ — единичная функция Хевисайда.

Определение динамического поведения стержня при $t > 0$ приводится к решению уравнений (20) — (22) при начальных и граничных условиях:

$$u|_{t=+0} = u|_{t=-0}, \quad \left(\frac{\partial u}{\partial t}\right)\Big|_{t=+0} = \left(\frac{\partial u}{\partial t}\right)\Big|_{t=-0}, \quad (27)$$

$$\sigma|_{z=\pm h} = -p_0 \sin \omega_0(t + t_0), \quad D|_{z=\pm h} = \frac{\varepsilon_{33}^T (1 - k_{33}^2)}{h} V' H(t). \quad (28)$$

Задачу (20) — (22), (27), (28) решаем с помощью комплексного преобразования Фурье, определяемого формулами [10]

$$\bar{f}(z, \omega) = \int_0^{\infty} f(z, t) e^{i\omega t} dt, \quad f(z, t) = \frac{1}{2\pi} \int_{i0-\infty}^{i0+\infty} \bar{f}(z, \omega) e^{-i\omega t} d\omega. \quad (29)$$

В обратном преобразовании δ должно быть больше всех мнимых частей сингулярностей \bar{f} . Опуская выкладки, запишем решение задачи, справедливое как до разряда ($t < 0$), так и после него ($t > 0$):

$$u = -\rho_0 \frac{\epsilon_{33}^E}{\epsilon_{33}^T} (1 - k_{33}^2) \frac{\sin k_0 z}{k_0 \cos k_0 h} \sin \omega_0 (t + t_0) + d_{33} (1 - k_{33}^2) V' \frac{z}{h} H(t) - \frac{1}{2} d_{33} (1 - k_{33}^2) V' [\alpha(z - ct) + \alpha(z + ct)] H(t), \quad (30)$$

$$\psi = -\frac{\rho_0 d_{33}}{\epsilon_{33}^T} \frac{\sin k_0 z}{k_0 \cos k_0 h} \sin \omega_0 (t + t_0) - (1 - k_{33}^2) V' \frac{z}{h} H(t) - \frac{1}{2} k_{33}^2 V' [\alpha(z - ct) + \alpha(z + ct)] H(t),$$

$$\sigma = -\rho_0 \frac{\cos k_0 z}{\cos k_0 h} \sin \omega_0 (t + t_0) - \frac{d_{33} V'}{2h \epsilon_{33}^E} [\beta(z - ct) + \beta(z + ct)] H(t),$$

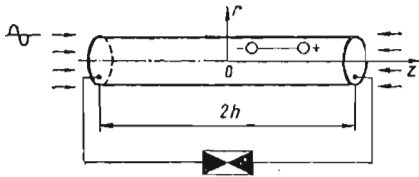


Рис. 2

$$D = \frac{\epsilon_{33}^T (1 - k_{33}^2)}{h} V' H(t).$$

Здесь $\alpha(x)$ и $\beta(x)$ — периодические функции с периодом $T = 4h$; функция $\alpha(x)$ непрерывна и на основном периоде ($-2h \leq x \leq 2h$) записывается так:

$$\alpha(x) = \begin{cases} -\frac{x}{h} - 2, & -2h \leq x \leq -h, \\ \frac{x}{h}, & -h \leq x \leq h, \\ -\frac{x}{h} + 2, & h \leq x \leq 2h; \end{cases} \quad (31)$$

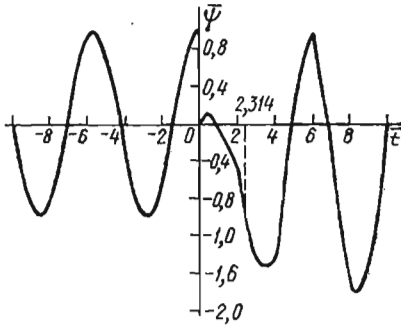


Рис. 3

$\beta(x)$ — разрывная функция вида $\beta(x) = h \frac{d\alpha(x)}{dx}$. Энергия разряда равна $\frac{\epsilon_{33}^T (1 - k_{33}^2) S}{2 \cdot 2h} (2V')^2$.

Рассмотрим выходное напряжение генератора $\Psi = \psi|_{z=h}$ при возбуждении на частоте $\omega_0 = 0,7\Omega$, где $\Omega = \frac{\pi c}{2h}$ — первая собственная частота. Напряжение перед разрядом $2h$ представим в виде $V' = \theta V_0$, где $V_0 = \frac{\rho_0 d_{33}}{\epsilon_{33}^T} \frac{\text{tg } k_0 h}{k_0}$ — амплитуда выходного напряжения на стационарных колебаниях, а θ заключено между 0 и 1. Значение t_0 найдем, исходя из условий $\Psi|_{t=-0} = V' \frac{d\Psi}{dt} \Big|_{t=-0} \geq 0$ (смысл последнего очевиден). Легко убедиться, что $t_0 = \frac{1}{\omega_0} (\pi + \arcsin \theta)$.

В безразмерных величинах $\bar{t} = \frac{ct}{h}$, $\bar{z} = \frac{z}{h}$, $\bar{\Psi} = \frac{\Psi}{V_0}$ имеем

$$\bar{\Psi} = -\sin(0,35\pi\bar{t} + \pi + \arcsin \theta) - (1 - k_{33}^2) \theta H(\bar{t}) - k_{33}^2 \theta \alpha[h(1 - \bar{t})] H(\bar{t}). \quad (32)$$

При $\theta = 1$ (разряд на максимуме) выражение для $\bar{\Psi}$ принимает особенно простой вид

$$\bar{\Psi} = \cos 0,35\pi\bar{t} - (1 - k_{33}^2) H(\bar{t}) - k_{33}^2 \alpha[h(1 - \bar{t})] H(\bar{t}). \quad (33)$$

На рис. 3 изображена зависимость $\bar{\Psi}$ от \bar{t} для $k_{33}^2 = 0,49$ (пьезокерамика $PZT = 4$ [4]).

Максимальное по времени значение выходной разности потенциалов $2|\Psi|$ может после разряда превзойти величину $2V_0$, достигаемую на стационарных колебаниях. Так, на отрезке времени $0 < t < 10$ максимальное значение $2|\Psi|$, равное примерно $3,64 V_0$, достигается при $\bar{t} \approx 8,2$. Повышение выходной разности потенциалов обусловлено действием появившихся в момент времени $t = 0$ свободных зарядов $\pm \frac{\epsilon_{33}^T (1 - k_{33}^2)}{h} V'S$ на электро-

дах $z = \pm h$. Эти же заряды вызывают другой интересный эффект. Представим себе, что при $t > 0$ разряд происходит всякий раз, когда выходная разность потенциалов достигает значения $2V'$. Тогда можно показать, что в случае, когда V' не слишком мало по сравнению с V_0 , второй разряд произойдет в момент, когда потенциалы на электродах будут иметь полярности, противоположные тем, что были при первом разряде. Так, для случая, изображенного на рис. 3, второй разряд произошел бы в момент времени, равный наименьшему положительному корню уравнения $\bar{\Psi} = -1$, или

$$\cos 0,35\pi\bar{t} = -k_{33}^2 \{1 - \alpha [h(1 - \bar{t})]\}, \quad (34)$$

что дает $\bar{t} = 2,314$. Чередование полярностей потенциалов на электродах будет иметь место и для последующих разрядов.

В выражении (30) для σ члены, содержащие функцию $\beta(x)$, описывающую волны напряжения, распространяющиеся по стержню и отражающиеся от его концов. Появление после разряда волн напряжения, интенсивность которых может быть достаточно велика [1], необходимо учитывать при расчете импульсных пьезогенераторов на прочность.

1. Баженов В. М., Улитко А. Ф. Исследование динамического поведения пьезокерамического слоя при мгновенном электрическом нагружении.— Прикл. механика, 1975, 11, № 1, с. 22—27.
2. Баженов В. М., Улитко А. Ф. Определение высвобождаемой электрической энергии при мгновенном разряде пьезокерамического слоя.— Прикл. механика, 1975, 11, № 12, с. 67—74.
3. Баженов В. М. Исследование электрической энергии мгновенных разрядов статически сжатого пьезокерамического слоя.— Докл. АН УССР. Сер. А, 1977, № 11, с. 995—998.
4. Берлинкур Д., Керран Д., Жаффе Г. Пьезоэлектрические и пьезомагнитные материалы и их применение в преобразователях.— В кн.: Физическая акустика / Под ред. У. Мезона. М.: Мир, 1966, т. 1, ч. А, с. 204—326.
5. Жарий О. Ю. К вопросу об оценке магнитных эффектов, сопровождающих распространение плоских волн в пьезокерамической среде.— Докл. АН УССР. Сер. А, 1978, № 8, с. 705—709.
6. Смайт В. Электростатика и электродинамика.— М.: Изд-во иностр. лит., 1954.— 604 с.
7. Улитко А. Ф. К теории колебаний пьезокерамических тел.— Тепловые напряжения в элементах конструкций, 1975, вып. 15, с. 90—99.
8. Улитко А. Ф. К теории электромеханического преобразования энергии в неравномерно деформируемых пьезокерамических телах.— Прикл. механика, 1977, 13, № 10, с. 115—123.
9. Яффе Б., Кук У., Яффе Г. Пьезоэлектрическая керамика.— М.: Мир, 1974.— 288 с.
10. Rao Y.-H., Ceranoglu A. N. Determination of transient responses of a thick-walled spherical shell by the ray theory.— Trans. ASME E., 35, N 1, p. 114—122.
11. Tiersten H. F. Wave Propagation in an infinite piezoelectric plate.— JASA, 1963, 35, N 2, p. 234—239.